

# 鹼金屬和鹼土金屬 的光譜測定法

T. Φ. 博羅維克-羅曼諾娃 著

地質出版社

# 鹼金屬和鹼土金屬 的光譜測定法

T. F. 博羅維克—羅曼諾娃 著

袁玄暉 丁禹 譯

地質出版社

1959·北京

Г. Ф. БОРОВИК-РОМАНОВА  
СПЕКТРАЛЬНО-АНАЛИТИЧЕСКОЕ  
ОПРЕДЕЛЕНИЕ ЩЕЛОЧНЫХ  
И ЩЕЛОЧНОЗЕМЕЛЬНЫХ ЭЛЕМЕНТОВ  
ИЗДАТЕЛЬСТВО АКАДЕМИИ НАУК СССР  
МОСКВА 1956

本書叙述鹼金屬及鹼土金屬的光譜定性和定量分析法，分析對象為水、植物、土壤以及岩石等。在文獻中几乎搜集了過去所有的有關材料，并在本文中作了簡要的敘述。原書責任編輯為蘇聯科學院院士維諾格拉多夫（А.П. ВИНОГРАДОВ）。本書第一章至第三章為袁玄暉所譯，第四章至第六章為丁昌所譯。

鹼金屬和鹼土金屬的  
光譜測定法

著 者 T. F. 博羅維克-羅曼諾娃  
譯 者 袁 玄 晖 丁 昌  
出 版 者 地 質 出 版 社  
北京宣武門外永光寺西街3号  
北京市書刊出版業營業許可證字第050号  
發 行 者 新 華 書 店  
印 刷 者 天 津 市 第 一 印 刷 厂

印數(京)1—1,600册 1959年 月北京第1版  
开本31"×43"1/25 1959年 月第1次印刷  
字數95,000 印張6<sup>6</sup>/25 插頁4  
定价(10)0.93元

## 目 錄

引 言 .....	5
第一章 光譜分析用的仪器 .....	7
第一節 光譜仪器 .....	7
第二節 激發光源 .....	8
第三節 电極与如何將試样引入碳弧焰內 .....	21
第四節 鹼金屬及鹼土金屬光譜分析用的相板 .....	27
第二章 光譜定性分析 .....	30
第一節 光譜圖的攝取 .....	30
第二節 光譜圖的解釋 .....	30
第三節 鹼金屬的分析 .....	32
第四節 鹼土金屬的分析 .....	40
第三章 光譜定量分析 .....	44
第一節 基本原理 .....	44
第二節 分析試样的准备 .....	46
第三節 准备光譜分析用的标准 .....	47
第四節 測定基物中雜質的加入法 .....	50
第五節 進行校正光譜背景的方法 .....	52
第六節 譜線的自吸 .....	53
第四章 試样总成分对于待測元素的譜線強度的影响 .....	55
第一節 在以直交流弧及交流电弧激發光譜情況下的影响 .....	55
第二節 在以火花放电激發光譜情況下的影响 .....	65
第三節 在以火焰激發光譜情況下的影响 .....	67
第四節 在以高压交流电弧激發光譜情況下的影响 .....	71
第五章 在水、植物、土壤以及岩石中測定鋰、鈉及鉻的光譜定量法 .....	74

第一節 植物灰及动物有机体的灰份分析 .....	78
第二節 土壤的分析 .....	80
第三節 岩石的分析 .....	82
第四節 溶液分析 .....	89
<b>第六章 在水、植物、土壤以及岩石中测定鍶及鋇的光譜定量法 .....</b>	<b>100</b>
第一節 植物灰及土壤的分析 .....	102
第二節 岩石的分析 .....	105
第三節 溶液分析 .....	112
<b>参考文献 .....</b>	<b>119</b>

## 附 錄

附錄1. 鍶金屬及鹼土金屬譜線表 (根据[23]) .....	132
附錄2. 鍶金屬及鹼土金屬的最强譜線以及用这些譜線对試样中的元素進行光譜測定时所遇到的干擾譜線一覽表(根据[23,25]) .....	144
附錄3. 鍶金屬及鹼土金屬的最重要光譜段的照片 .....	155

## 引　　言

發射光譜分析法是根據以下原理建立起來的，即在一定的激發條件下，不同的化學元素在氣體狀態會發出它們所特有的具有一定波長的譜線。根據試樣光譜中有無某元素的特徵譜線，就可以確定此試樣內是否有該元素存在。這一方法首先是由基爾霍夫（Кирхгоф）和本生（Бунзен）二人所提出的。他們在1859年研究鹼金屬鋰、鈉、鉀和鹼土金屬鈣和鎂的光譜時，就發現有可能根據物質的光譜來研究其成分。在研究各種不同種類的礦物原料時，光譜分析法起了很大的作用。由於利用這些方法的結果已發現了一些新的元素：銻和銫（1860年，基爾霍夫和本生）、鈷（1861年，克魯克斯）、銨（1863年，列依赫和里赫捷爾）、鎇（1863年，翁克列爾）、鎵（1875年，列科克、喬治、布阿博德蘭）、在太陽紅焰中發現了氦（1868年，洛基耶爾），較晚一些時候，在鈇鈮礦物中也找到了氦（1895年，拉姆扎依）。

當採用化學分析有困難或者不可能時；例如：試樣量太少，缺乏試劑，需要很快地得到資料等，這時光譜分析就顯得特別方便。

在發現光譜分析以後的很多年中，物質成分的光譜分析還只是停留在定性分析上。以後逐漸應用起光譜分析的定量法〔1〕。然而這些方法那時是不太適用的，其原因是由於方法的理論基礎還不足。光譜理論的發展以及各種光譜儀器的日臻完善就促使克服了這些困難。大約從1927—1930這幾年間起，光譜定量分析開始有了很快的發展。

目前，在某些情況下，以精確度來說，光譜定量分析不遜於化學分析，而以靈敏度來說却大大地超過了化學分析。

以光譜分析來測定礦物原料試樣中稀有鹼金屬和鹼土金屬的含量具有很大的意義，因為在這種情況下，化學分析既複雜又不

准确。

由于B.I.維爾納茨基和A.II.維諾格拉多夫的倡議，我們研究了鋰、鈦、鉻在水、有机物、土壤及岩石中的分布狀況，同时拟制出了几个新的光譜定量法來測定上述对象中少量的鋰、鈦和鉻。

最近，由于工業上的需要，对測定鹼金屬和鹼土金屬的兴趣大大增加了，这也就擴大了研究範圍，其中最重要的就是这几个元素的定量測定方法。

編寫这篇科学論文的目的是为了向从事光譜分析的科学工作者們介紹一些在水、植物、土壤和岩石中進行鹼金屬鋰、鈦、鉻和鹼土金屬（鋇、鋨）定性和定量測定的主要方法。

作者感謝 A.II. 維諾格拉 多夫院 士所給予的寶貴建議 和 指示，感謝苏联科学院光譜委員會主席Г.С.蘭斯別爾格院士在工作上的幫助，感謝委員會委員A.K.魯薩諾夫和 C.M. 拉依斯基，他們都在百忙中校閱了著者的手稿。И.А.雅科甫列夫同志曾对本工作提出寶貴意見，C.A.博羅維克曾給以帮助并提供有益的建議，苏联科学院地球化学研究所光譜實驗室的工作人員：Г.В.米哈依洛夫、Л.И.帕夫連科、В.В.科罗列夫、Ю.И.庫嶺科、М.М.法拉佛諾夫和З.А.尼基齊納都曾与著者共同完成分析任务并确定工作，此处一併致謝。

## 第一章 光譜分析用的仪器

在作發射光譜分析时，所要研究的物質是从电極的孔穴中蒸發到弧焰、或火花中去。轉为气态的待測物質的原子和离子与快速运动的質点（主要是电子）相碰撞时，就被激發而發光，并且放出每一个元素所特有的光譜綫。借助于光譜仪器就可以研究这种光譜。仪器的最主要部分就是按着波長來分解光的稜鏡或繞射光柵。关于光譜的記錄方式可采用照相法或光电法。

### § 1. 光 譜 儀 器

当進行鹼金屬和鹼土金屬的光譜分析时，可以采用苏联光学工业所制造的光譜仪器：即 ИСП-51 型三玻璃稜鏡攝譜仪，此仪器有4套焦距不同并可以換裝的暗箱； ИСП-22 型石英攝譜仪； KC-55 型自准式攝譜仪。关于仪器構造和使用方法的詳細說明可以在專門的参考書和論文[1-22]中找到，也可在附于仪器中的說明書上找到。

为了測定低濃度的鹼金屬和鹼土金屬，就要用具有玻璃光学系統的攝譜仪，因为鋰、鉻、銣、鈦和鋇的最強譜綫都位于可見光譜和紅外光域中。在進行上述元素的光譜分析时，最方便最合用的是 ИСП-51型攝譜仪，并且要利用焦距为 270和800 毫米的暗箱；对于發射光譜分析來說，在焦距为 120 毫米的暗箱上所得到的綫性色散率是很小的；使用焦距为1300毫米的暗箱并不是在任何情况下都适用的，因为它只能容納很狹的一段光譜。

具备有石英与玻璃兩套光学系統的 KC-55 型自准式攝譜仪同样适合于在較大含量范围内分析鹼金屬及鹼土金屬。用紫外区的譜綫來測定高含量的鹼金屬与鹼土金屬时应用 ИСП-22 型石英攝譜仪。

## § 2. 激發光源

火焰，交流和直流电弧以及火花都可用作激發鹼金屬及鹼土金屬的光譜激發源。

### 火 焰

火焰是最穩定的激發源。

空气—乙炔火焰是最常用于溶液分析，同时也是以溶液分析为主。溶液可借噴霧器噴入火焰。

倫第迦德〔23, 24〕(圖1)所設計的噴霧器及噴灯口構造簡單。噴霧器的最重要組成部分是噴液嘴，其作用是使溶液成為混有空氣的極小水滴而射入噴灯口。噴灯口作成本生燈樣；口子是由耐熔玻璃作成管狀，有時用鉛或石英來作上面的活動接口。在

噴灯口與水壓計之間要裝一段毛細管以防止火苗蔓延到氣體混合物中去。

從氣罐中出來的乙炔氣經過側管而進入噴灯口的下部。借助于連在乙炔罐上的減壓氣門可讓乙炔氣的壓力等於20—40厘米水柱，確數則需視嘴尖處尺寸的大小而定。空氣可用小型的壓氣機來送入；在壓氣機與噴霧器的中間放置一個穩壓罐。要憑經驗才能選擇出空氣和乙炔的最適宜壓力。空氣壓力要保持不變；壓力大小與噴嘴處的直徑有關。

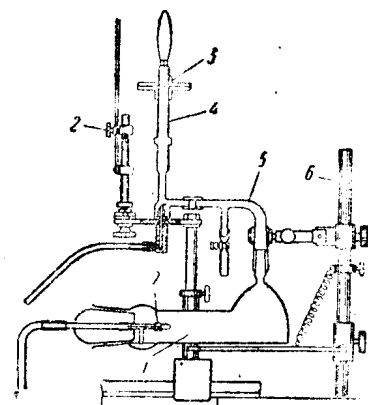


圖 1. 倫第迦德的噴霧器與噴灯口  
1—噴霧室；2—鏡子；3—变动噴  
口的調節裝置；4—噴灯口；5—速  
接管；6—架子；7—噴液嘴

進入噴灯口的乙炔壓力以水壓計來控制；而通入噴灯口的空氣壓力則可用水銀壓力計的水平差來控制。

在這種噴霧器上，僅只有那些體積較小而又非常容易蒸發的

待測溶液的小滴才能射到噴燈口；較大的則又凝聚為溶液並進入噴霧器。

在可燃混合氣體中，乙炔氣與空氣的比例則以能得到高為25厘米、並顯著帶有綠色內焰的無煙火焰為宜。

火焰置於離攝譜儀狹縫4—5厘米的地方，調整其高度使圓錐形的藍色火焰恰低於狹縫5—8毫米處。這可解釋為，不讓從圓錐形火焰所發出的光投在攝譜儀的狹縫上，因為火焰的最熱部分剛好在圓錐形火焰的上面。空氣—乙炔焰的這一部分溫度約為 $2600^{\circ}\text{K}$ ，而乙炔—氧气焰的溫度則為 $3410^{\circ}\text{K}$ 。

最近有人提出了修改噴霧器[25—28]的意見；其中之一如圖2所示。

A.K. 魯薩諾夫[29—35]曾使用乙炔火焰作了很多光譜分析工作。

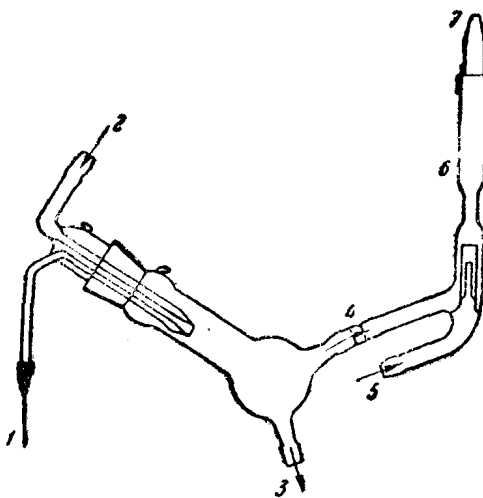


圖2. 一個新設計的噴霧器與噴燈口

1—垂直毛細管；2—壓縮空氣進入的管子；3—待測溶液的流出口；4—連接管；5—氣体供給管；6—噴燈口；7—焰頭[26]

由於鹼金屬共振線的激發電位較低，那麼用空氣—乙炔焰來

作它們的光譜分析就有某些优点。为了利用乙炔焰來研究粉末，魯薩諾夫曾按裝了一个專門把粉末物質送入乙炔焰噴灯口(圖3) [33]中的吹管。也可以用紙帶或炭鉢[36]把試样送入火焰中。

### 直 流 电 弧

炭电極直流电弧是分析岩石、礦物、土壤、植物灰和类似物質的最簡單和最适用的光譜激發源。

最常用的电弧电源是电压为150—250伏的發电机或水銀整流器。

工作經驗說明，当电压为220—250伏(37.38.9)时弧燃最为穩定。

可以用与电弧串联电路的变阻器調節，使电流保持在6—15安。直流电弧的綫路如圖4所示。

为了点弧，可使电極互相接触；在电極分开时，一个明亮的电弧就燃燒起來了。所發生的弧光放电，其特点就是电流比較大，等于6—15安，弧隙間的电位降落并不大，約为25—80伏。弧隙間的电位差随着所通过电流的增强而下降。因此，沒有一个足够大于弧隙間电阻的串联电阻，电弧就不可能燃燒得很穩定。

在弧燃过程中，电極將热到相当高的温度。这时，炭电弧正極处的温度約等于 $3800^{\circ}\text{C}$ ，陰極温度則不超过 $3000^{\circ}\text{C}$  [39.9]。

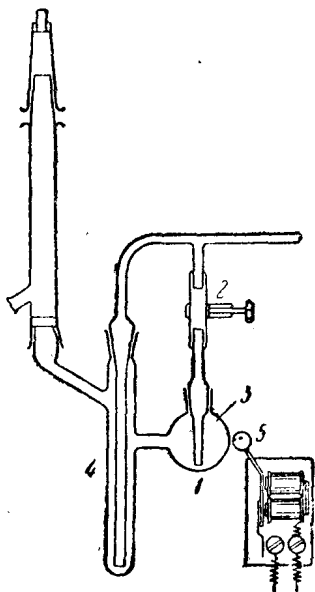


圖 3. 分析粉末用的噴  
灯口和噴霧器

1—放置粉末的小球；2—气  
門；3—在打開氣門時放出  
微弱氣流的管子；4—氣流  
經常自小球里將粉末噴入其  
中的管子。以電力鑑[33]  
不斷震盪小球使粉末較均  
勻地引入火焰。

温度沿着炭棒[40]下降得很快。魯薩諾夫曾作出沿石墨电極的溫度分布圖，其所采用的电極其直徑為6毫米，直流电流為9安。从圖5可看出，溫度下降最利害的地方是接近于电極赤热尖端的地方；在距离为2毫米处，溫度从 $3800^{\circ}\text{C}$ 降到 $2500^{\circ}\text{C}$ ；在5毫米距离处，溫度降到 $1800^{\circ}\text{C}$ 。这是在純炭电極間燃弧的数据。假若在炭电極（陽極或陰極）的孔穴中放置分析試样，则电極上的高溫度会使試样蒸發。当待測物質被放入电極时，因为有一部分热量要付出來蒸發試样，于是炭电極本身的溫度就要下降。

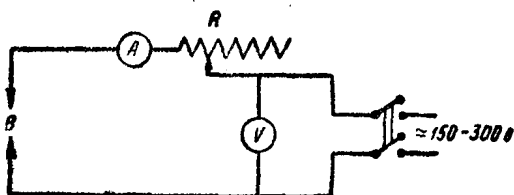


圖 4. 直流电弧供电系統  
B—弧極阻；R—电阻；A—电流計；V—伏特計

电流通过电弧的步驟基本上如下所述。用作阴極的炭極赤热尖端是強大电子流的發源地。在接近阴極的区域，电子獲得了極大的速度，并且对在奔向陽極道上所碰到的原子和分子进行电离。新形成的自由电子被电場加速而奔向陽極，同时又对在路上所碰到的原子与分子进行电离。出現在弧柱中的陽离子向陰極移动，并在陰極附近加快速度而撞击陰極，使陰極不断地發射电子。除了电子与原子的彈性碰撞以外，同时还会發生能引起原子激發和原子电离的非彈性碰撞。可以認為，当为大气压力时在弧柱中电子、离子、和原子的溫度相近似，差不多可以說弧光放电中的热激發是均衡的，弧柱的溫度也是均衡的（在存着很大电位梯度的电弧中，接近电極区域的电子其溫度可能較原子溫度为高）。

这时原子和离子的分布情况將按激發能量以玻耳茲曼[6]公式來表示。

弧柱温度高于电极温度很多。按不同作者以分光法[41—45]所作的测定来说，炭电弧的温度约为 $7000^{\circ}\text{K}$ ，铜极电弧温度约为

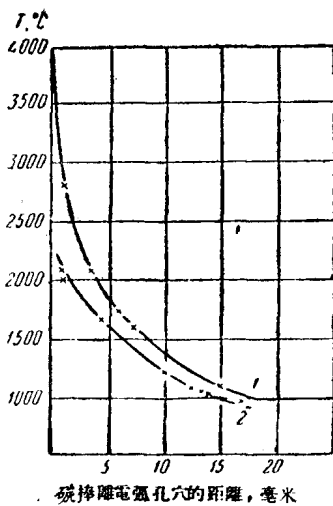


圖 5. 沿石墨電極電弧

### 溫度的分布情況

1—當電流為 9 安時直流電弧的陽極情況；2—15 安[40] 交流激活電弧的下電極情況

此处 $V_1$ 、 $V_2$ 、 $V_3$ … $V_n$ —表示各个不同元素的电离电位； $N_1$ 、 $N_2$ 、 $N_3$ … $N_n$ —弧焰中各个元素的原子数目； $N$ —所有元素的原子总数； $K$ —玻耳茲曼常数。

有效电离电位的大小主要是决定于具有最低电离电位[41]的成分。在燃烧于纯炭极之间的弧柱中，电离电位等于11.3伏，在铜极电弧中则为7.7伏。

O.П.謝麥諾娃曾指出，弧温与充满于弧隙间（圖 6）[41]气体的有效电离电位之间有直线关系存在。

被分析的样品；如土壤、植物灰、岩石都含有很多不同的元素。电弧中气体云层的有效电离电位（因而，也就是温度）将决定于这些元素的电离电位。假若试样中含有碱金属的盐类，如 $\text{NaCl}$ ，则根据实验证明，5%的钠量足以使钠[41]的电离电位成

5300°K。弧柱温度主要是以充满于弧极[41—6]间气体的电离电位来决定的；假若这个气体是由好几个具有不同电离电位的成分所组成，则弧柱温度将由有效电离电位的大小来决定，此数值可以下式[41]表示：

$$\text{有效电离电位 } V_i =$$

$$-kT \ln \left( \frac{N_1}{N} e^{-\frac{V_{i1}}{kT}} + \frac{N_2}{N} e^{-\frac{V_{i2}}{kT}} + \frac{N_3}{N} e^{-\frac{V_{i3}}{kT}} + \dots \right),$$

$$\dots + \frac{N_n}{N} e^{-\frac{V_{in}}{kT}} \right),$$

为弧隙間气体的有效电离电位，因而弧柱的温度差不多会降到4000°K。

弧柱温度在各个不同的弧層中都不一样；它在外焰处降低得最利害。在电弧中間区域，当从中心轉向边沿〔9〕时，可以觀察到其变化不大。电流变动时弧柱温度变化很小。电流变动为1--13安时，弧柱温度僅升高700°〔9〕。

当拟制光譜定量分析方法时，最重要的一点就是要知温度随着試样的蒸發如何地在变动。假若只是限于作近似的測定，利用魯薩諾夫等人所發現的存在于电弧兩端的电压和电弧中气体〔46〕温度之間的直線关系就足夠了。根据圖7上的曲綫，即可按照連接于电弧兩端〔9〕的伏特計讀数大致地推断出电弧温度。

用直流电弧工作时，可把放有試样的电極当作陽極，也可以当作陰極。帶有正电荷的离子由于电場作用而被吸向陰極；因此接近于陰極的地方就形成一个富集的离子層，同时还有很多由于离

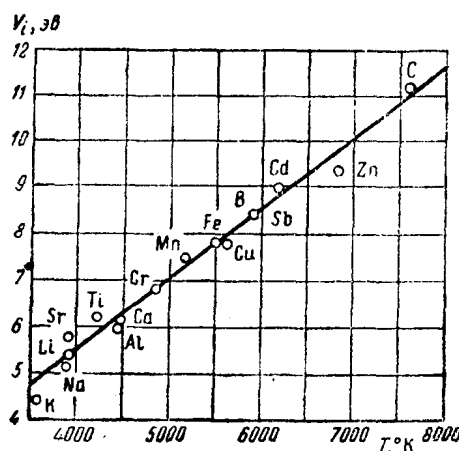


圖 6. 充滿于电極間(41)氣体的电离电位  $V_i$  与弧溫的关系

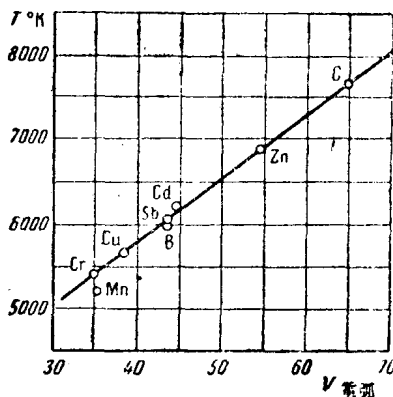


圖 7. 弧隙中电压傾向  $V$  与电弧放电溫度之間的关系(46)

子复合而形成的原子。因此，在电弧中接近于阴极的一段，某些元素的原子（无论电离原子，或中性原子）线谱能得到加强。由于在阴极附近的电位降落很大，所以这里可能出现一些较弧柱中激发电位为高的谱线。在高温电弧工作的条件下，谱线增强与新谱线出现的效应对低电离电位的元素来说是最强了。因为燃烧于纯炭极之间的弧焰温度才是最高的温度，那么要元素谱线在阴极层显著增强就只有在电极内加入实际上并不影响降低弧温的极小量试样时才能得到；当电极中有大量物质在蒸发时，充满于弧隙间的气体的有效电离电位就大大降低了，并且相应地使弧柱温度下降。因为这个原因，电离程度和阴极层谱线增强的作用就减低了。

为了增强某些元素的光谱分析灵敏度，孟柯夫和比德士[47]曾采用阴极附近气体中离子和原子富集的现象。这时，装有试样的电极被作为阴极用，并且以阴极附近的弧焰部分来照亮摄谱仪的狭缝。

有些人曾利用以阴极层[25]进行激发的办法来分析土壤、植物灰与岩石。然而以直流电弧工作时，在大多数情况下都宁愿以装有试样的下电极作为阳极，并且以光谱激发条件比较稳定[48.9]的电弧中部来照亮狭缝。在这种情况下，要求有大量的样品。

有人[48]曾指出，这两种方法在灵敏度方面的差别是很大。

当试样放置在阳极中，在部分的试样蒸发之后，同样也可观察到阴极层中有谱线加强的现象。在这种工作条件下摄取花岗岩样品的光谱时，我们曾观察到在靠近阴极的地方很多元素的谱线都增强了。试样被放在直径为3.5毫米，深为6毫米的电极（阳极）孔穴中。在摄谱仪的狭缝上得到电弧的成像后进行摄谱。在第二分钟的末尾有些元素的谱线在相当于阴极区域的部分光谱图上加强了，这种谱线的加强随着试样的蒸发愈来愈厉害。在第四分钟的末尾，同样在第五、第六分钟间，有些元素的谱线在光谱图的中央和近阳极处消失了，而留下的仅是靠近阴极（图8）的较强

部分。

按在分析工作上所应用的灵敏度來說，直流电弧比火花与火焰要高。弧焰的高温几乎可以使元素的全部中性原子譜綫和很多电离原子譜綫都能被激發。电極的温度可以促使試样中不管是易揮發的或是難揮發的元素都能全部蒸發。对土壤、植物灰、岩石、水的干渣的分析工作來說，电弧是一个最通用的光源。然而直流电弧的再現性比其他光源要差。这主要可以解釋为是由于陰極斑和陽極斑在电極表面上不可避免地要來回变动，弧柱長度有所变化，因而弧間电阻也就有变化。

### 交 流 电 弧

直流电弧可以在元素濃度很小时用來測定它們的含量。然而用交流电弧却可得到再現性較高的分析結果。当含有低电离电位的易揮發成分的試样蒸發时，交流电弧燃燒得很穩定。当采用杂质很少的碳棒为电極來工作时，特別是金屬电極，就不可能保持电压为110—220伏的交流电弧放电，在电流断流以后，电弧就

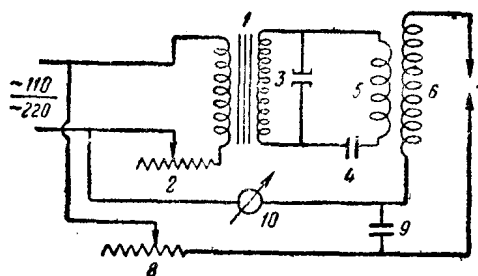


圖 9. 交流电弧發生器的線路  
 1—高頻率电路变压器；2—变压器的电路电阻；3—發生器的火花放电盤；4—电容器；5—初级繞圈；6—次級繞圈；7—电弧；8—电弧电流的可調电阳；9—电容器；10—电流計

不能自行再燃。这时就要利用H.C. 斯温齐茨基 [49.50] 線路的交流激活器，这种激活器在每半周期开始时由于借助了与低压电流相合在一起的高頻率电流就能使电弧重新点燃起來。

圖 9 是交流激活电弧的線路。电弧發生器中变压器所供給的电压为 2—3 千伏，功率为 80 瓦，次級电压是用来維持由 0.003 微法④的容电器，自感綫圈⑤和火花放电盤③所組成的火花振盪电路。当火花穿过电路中的放电盤时，就会引起高頻率电流。自感綫圈的圈数是 8—10 圈，綫圈直徑为 8 厘米。在此綫圈內有次級綫圈⑥，它是接入于电弧电路中，圈数有 100—150，其直徑为 5 厘米。次級綫在电感方面与第一綫圈有关，經過次級綫圈在电弧电路中就傳送出高頻率电流；將 0.2—0.5 微法的容电器接入高頻率电路，并使外面的电路与高頻电路隔开。

在以交流激活电弧所得的光譜上，譜綫的強度与电弧参数和电極間距离的大小很有关系，同时与通过电弧的电流也很有关系。鎳金屬和鎳土金屬的測定灵敏度都很高。当實驗条件保持不变时，用交流电弧得到的結果其再現性比直流电弧要高。其原因是由于在每半週期間都会發生強制燃弧，这样就避免了陰極斑搖晃不定情况。

最近，苏联工業部門制出了性能完善的 ΔΓ-1 型交流电弧發生器。此發生器具有不同的电弧操作条件。ΔΓ-1 型發生器在电弧操作条件下可以被利用來分析土壤、岩石及植物灰中鎳金屬和鎳土金屬。在測定鎳土金屬时，有时同样也可利用 ΔΓ-1 型發生器的高頻操作条件。

曾有好几个人測量过交流电弧的温度。H.C. 斯温齐茨基[49] 曾測得銅电極間交流激活电弧的有效温度为  $6200 \pm 150^{\circ}\text{K}$ 。В.Д. 米哈列夫斯基和B.B. 普罗科夫耶娃[51] 以黃銅电極測量过交流激活电弧的温度。按鐵 (Fe II) ① 的电离原子譜綫所測得的温度数值如下：电流为 3 安时为  $5750^{\circ}\text{K}$ 、4 安时为  $5770^{\circ}\text{K}$ 、5 安时为  $5880^{\circ}\text{K}$ 、6 安时为  $6120^{\circ}\text{K}$ 、7 安时是  $6250^{\circ}\text{K}$ 。电弧邊緣区域的温度低  $4000—5000^{\circ}\text{K}$ （此温度是按羟基 (OH) 的譜綫所測得）。

①原書誤。——譯者注